

(19) 日本国特許庁(JP)

(12) 特 許 公 報(B2)

(11) 特許番号

特許第3943931号

(P3943931)

(45) 発行日 平成19年7月11日(2007.7.11)

(24) 登録日 平成19年4月13日(2007.4.13)

(51) Int. Cl.	F I	
HO4N 1/387 (2006.01)	HO4N	1/387
GO6T 1/00 (2006.01)	GO6T	1/00 500B
GO9C 1/00 (2006.01)	GO9C	1/00 640D
GO9C 5/00 (2006.01)	GO9C	5/00

請求項の数 14 (全 19 頁)

(21) 出願番号	特願2001-397873 (P2001-397873)	(73) 特許権者	000001007
(22) 出願日	平成13年12月27日(2001.12.27)		キヤノン株式会社
(65) 公開番号	特開2003-92677 (P2003-92677A)		東京都大田区下丸子3丁目30番2号
(43) 公開日	平成15年3月28日(2003.3.28)	(74) 代理人	100076428
審査請求日	平成16年11月18日(2004.11.18)		弁理士 大塚 康德
(31) 優先権主張番号	特願2001-211186 (P2001-211186)	(74) 代理人	100112508
(32) 優先日	平成13年7月11日(2001.7.11)		弁理士 高柳 司郎
(33) 優先権主張国	日本国(JP)	(74) 代理人	100115071
			弁理士 大塚 康弘
		(74) 代理人	100116894
			弁理士 木村 秀二
		(72) 発明者	岩村 恵市
			東京都大田区下丸子3丁目30番2号 キヤノン株式会社内

最終頁に続く

(54) 【発明の名称】 画像処理方法及び装置とそのプログラム及び記憶媒体

(57) 【特許請求の範囲】

【請求項1】

順序付けられた複数の画素から構成される画像データに対して自己同期性をもつ第1パターンを生成する第1パターン生成手段と、

前記画像データに依存した第2パターンを生成する第2パターン生成手段と、

前記第1パターンと前記第2パターンとから埋め込みパターンを生成する埋め込みパターン生成手段と、

前記埋め込みパターンを前記画素に埋め込むパターン埋め込み手段と、
を有することを特徴とする画像処理装置。

【請求項2】

前記第2パターン生成手段は、初期値を基に擬似乱数を発生する擬似乱数発生手段を有し、前記画像データと前記擬似乱数とに基づいて前記第2パターンを生成することを特徴とする請求項1に記載の画像処理装置。

【請求項3】

前記パターン埋め込み手段は、前記画素のLSBに埋め込むことを特徴とする請求項1又は2に記載の画像処理装置。

【請求項4】

前記第1パターン生成手段は、画像毎に異なる初期値を用いて、自己同期パターンを生成することを特徴とする請求項1乃至3のいずれか1項に記載の画像処理装置。

【請求項5】

10

20

更に、前記画像の拡大縮小及び回転を補正する補正手段を有することを特徴とする請求項 1 乃至 4 のいずれか 1 項に記載の画像処理装置。

【請求項 6】

前記順序付けられた複数の画素から第 3 パターンを抽出する第 3 パターン抽出手段と、
前記第 3 パターン抽出手段により抽出された前記第 3 パターンの自己同期性を検査する検査手段とを更に有することを特徴とする請求項 1 に記載の画像処理装置。

【請求項 7】

順序付けられた複数の画素から構成される画像データに対して自己同期性をもつ第 1 パターンを生成する第 1 パターン生成工程と、

前記画像データに依存した第 2 パターンを生成する第 2 パターン生成工程と、

前記第 1 パターンと前記第 2 パターンとから埋め込みパターンを生成する埋め込みパターン生成工程と、

前記埋め込みパターンを前記画素に埋め込むパターン埋め込み工程と、

を有することを特徴とする画像処理方法。

【請求項 8】

前記第 2 パターン生成工程は、初期値を基に擬似乱数を発生し、前記画像データと前記擬似乱数とに基づいて前記第 2 パターンを生成することを特徴とする請求項 7 に記載の画像処理方法。

【請求項 9】

前記パターン埋め込み工程では、前記画素の LSB に埋め込むことを特徴とする請求項 7 又は 8 に記載の画像処理方法。

【請求項 10】

前記第 1 パターン生成工程は、画像毎に異なる初期値を用いて、自己同期パターンを生成することを特徴とする請求項 7 乃至 9 のいずれか 1 項に記載の画像処理方法。

【請求項 11】

更に、前記画像の拡大縮小及び回転を補正する補正工程を有することを特徴とする請求項 7 乃至 10 のいずれか 1 項に記載の画像処理方法。

【請求項 12】

前記順序付けられた複数の画素から第 3 パターンを抽出する第 3 パターン抽出工程と、
前記第 3 パターン抽出工程で抽出された前記第 3 パターンの自己同期性を検査する検査工程とを更に有することを特徴とする請求項 7 に記載の画像処理方法。

【請求項 13】

請求項 1 乃至 6 のいずれか 1 項に記載の画像処理装置の機能をコンピュータに実行させるためのプログラム。

【請求項 14】

請求項 13 に記載のプログラムを格納し、コンピュータが読み取り可能なコンピュータ可読記憶媒体。

【発明の詳細な説明】

【0001】

【発明の属する技術分野】

本発明は、画像データの処理に関するもので、特にデジタル画像データのようなデジタルデータの改竄位置を検出するための画像処理方法及び装置、並びにその方法を実行するプログラム、及びそのプログラムを記憶した記憶媒体に関するものである。

【0002】

【従来の技術】

近年、コンピュータやインターネットの普及に伴い、従来の銀塩写真や紙の書類などに代わって、情報をデジタル化しデジタル画像として利用する形態が一般化しつつある。更に、目覚ましい画像処理技術の進歩により、デジタル画像の編集・改竄は、フォトレタッチツール等を使用すれば容易に行うことが可能になった。このため、デジタル画像の原本性（オリジナリティ）は従来の銀塩写真や紙の書類等と比較して低く、証拠としての能力に

10

20

30

40

50

乏しいという問題点が生じてきている。従来、写真画像は、例えば保険会社などでは事故の証拠写真として用いられたり、建設会社などにおいては、建築現場の進捗状況の記録として用いられたり、その証拠能力、即ち、その原本性は重要な役割を果たしてきている。しかし、上述したように、情報のデジタル化によってその証拠性が失われることは大きな問題である。

【 0 0 0 3 】

一般に、デジタル画像の原本性の保証は、米国特許第 5 4 9 9 2 9 4 号に示されるように、デジタル画像のハッシュ値に公開鍵暗号を用いた電子署名を作成することによって実現されるが、この手法では改竄の有無は分かっても、その改竄位置の検出まではできなかった。

10

【 0 0 0 4 】

それに対して、ある特定のパターンを画像全体に電子透かしとして埋め込み、その画像に対して改竄や編集が行われると、その埋め込まれたパターンが破壊されて、それにより改竄位置を検出する手法が知られている。その一例としては、LSBにあるスタンプ画像と呼ばれる特定画像を埋め込む手法であり、例えば特開 2 0 0 1 - 2 4 8 7 6 号公報には、秘密の鍵情報から生成される擬似乱数によって画像中のスタンプ画像の埋め込み位置を特定する手法が提案されている。

【 0 0 0 5 】**【 発明が解決しようとする課題 】**

このような従来の電子透かしによる改竄位置の検出手法は、そのアルゴリズムや埋め込みパターンが知られないことを安全性の根拠としている。従って、そのアルゴリズムや埋め込みパターンが知られてしまった場合には、例え改竄が行われても、その改竄が行われていないようにする、即ち、デジタル画像の偽造を行うことが可能である。つまり、LSBにスタンプ画像を埋め込む手法では、そのアルゴリズムを知った人物は、まずLSBのスタンプ画像を抽出して保存し、その画像を改竄した後で、最初に保存したスタンプ画像を読み出して再び、その改竄後の画像データのLSBに埋め込むことにより、改竄が検知されない偽造が可能になる。

20

【 0 0 0 6 】

また、特開 2 0 0 1 - 2 4 8 7 6 号公報に示されるような、擬似乱数によってスタンプ画像の埋め込み位置を定める手法は、その擬似乱数に埋め込み位置が依存するので、上述のLSBに埋め込む手法よりは安全であるが、原画像と電子透かし画像の差分をとるなどによって、一旦そのスタンプ画像の埋め込み位置が知られてしまうと同様の偽造が可能になる。

30

【 0 0 0 7 】

一般に、電子透かしの安全性は、そのアルゴリズムが秘密であることを前提とする場合が多く、そのアルゴリズムが知られても安全であると言える手法は今まで提案されていないと言っても過言ではない。

【 0 0 0 8 】

また、従来の電子透かしによる改竄位置の検出手法では、スタンプ画像を埋め込んでスタンプ画像を保存し、その保存したスタンプ画像と抽出したスタンプ画像を比較することによって改竄位置を検出している。このようなスタンプ画像は2次元データであるのでデータ量が多く、それを保存するために大きなメモリ容量が必要となり効率的でない。

40

【 0 0 0 9 】

更に従来手法において、同じ鍵と同じスタンプ画像を用いて埋め込み処理された複数の異なる画像を切り貼りする場合、安全な手法は提案されていない。例えば、同じサイズの複数の異なる画像を、それぞれ同じ大きさのブロックに分解し、同じ位置にあるブロックを入れ替えることにより1つの画像を合成する攻撃を考える。このとき、各画像が同じ鍵、同じスタンプ画像を用いていれば、改竄は検出できず、この攻撃は成功する。このような攻撃に対して、画像毎に異なる鍵又は異なるスタンプ画像を用いて埋め込み処理をすることが考えられる。しかし、画像毎に異なる鍵又は異なるスタンプ画像を用いることは電

50

子透かしのアプリケーションとして使い易くない。それは、改竄されている疑いがある画像が発見された場合、まず最初に、その画像がどの鍵又はどのスタンプ画像で処理されているかを特定する必要があるためである。検証対象の画像が大きく改竄されていて原画像が推定しにくい場合、又は異なる鍵で処理された画像が合成されている場合、どの画像が原画像であるかを特定することは困難である。即ち、どの鍵又はどのスタンプ画像を用いてよいか分からない場合が出てくる。

【 0 0 1 0 】

本発明は上記従来例に鑑みてなされたもので、電子透かし手法のアルゴリズムや埋め込みパターンが知られたとしても、確実に改竄位置を検出できる画像処理方法及び装置とそのプログラム及び記憶媒体を提供することを目的とする。

10

【 0 0 1 1 】

また本発明の目的は、スタンプ画像を保存する必要がなく、かつ同じ鍵を用いて異なるデータに埋め込み処理を行っても、確実にそのデータにおける改竄位置を検出できる画像処理方法及び装置とそのプログラム及び記憶媒体を提供することにある。

【 0 0 1 2 】

また本発明の他の目的は、スタンプ画像を保存する必要がなく、かつ、数パターン分のずれや画像の挿入、削除を検出できる画像処理方法及び装置とそのプログラム及び記憶媒体を提供することにある。

【 0 0 1 3 】

【課題を解決するための手段】

20

上記目的を達成するために本発明の画像処理装置は以下のような構成を備える。即ち、順序付けられた複数の画素から構成される画像データに対して自己同期性をもつ第1パターンを生成する第1パターン生成手段と、

前記画像データに依存した第2パターンを生成する第2パターン生成手段と、

前記第1パターンと前記第2パターンとから埋め込みパターンを生成する埋め込みパターン生成手段と、

前記埋め込みパターンを前記画素に埋め込むパターン埋め込み手段と、
を有することを特徴とする。

【 0 0 1 9 】

上記目的を達成するために本発明の画像処理方法は以下のような工程を備える。即ち、順序付けられた複数の画素から構成される画像データに対して自己同期性をもつ第1パターンを生成する第1パターン生成工程と、

30

前記画像データに依存した第2パターンを生成する第2パターン生成工程と、

前記第1パターンと前記第2パターンとから埋め込みパターンを生成する埋め込みパターン生成工程と、

前記埋め込みパターンを前記画素に埋め込むパターン埋め込み工程と、
を有することを特徴とする。

【 0 0 2 5 】

【発明の実施の形態】

[実施の形態1]

40

図1は、本発明の実施の形態1に係る画像埋め込み処理を説明するための概念図である。

【 0 0 2 6 】

ここでは原画像 $I(i, j)$ を $M \times N$ 画素からなる多値画像（ここでは、1画素が8ビットの多値画像として説明する）とする。また、下記において、 \oplus は EXOR（排他的論理和）を表す。但し、図1における処理103以下の処理は、 $i = 0, j = 0$ から $i = M - 1, j = N - 1$ まで、各画素毎に行われる。

【 0 0 2 7 】

<埋め込み処理（図1）>

まず処理101で、画像毎に定める値 k_i を初期値として自己同期パターン $C(i, j)$ を

50

生成する。

【 0 0 2 8 】

次に処理 1 0 2 で、鍵 k を初期値として擬似乱数を生成し、8 ビットデータを入力して 1 ビットデータを出力するルックアップテーブル $LUT()$ を作成する。これは各テーブルのアドレス順に、各アドレスに 1 ビットずつ、その生成した擬似乱数を割り当てていくことによって実現される。

【 0 0 2 9 】

次に処理 1 0 3 で、画像 $I(i, j)$ の LSB を除いた画像 $I7(i, j)$ から $B(i, j) = LUT(I7(i, j))$ を計算する。ここで、 $LUT(I7(i, j))$ は、画像 $I7(i, j)$ がルックアップテーブル $LUT()$ に入力されたとき、それに対応して出力される 1 ビットの乱数値を示している。

10

【 0 0 3 0 】

次に処理 1 0 4 で、画像 $I(i, j)$ の LSB に $\{B(i, j) \quad C(i, j)\}$ を埋め込み、電子透かしが埋め込まれた画像 $I'(i, j)$ を生成する。

【 0 0 3 1 】

この電子透かしの埋め込み処理によって得られる電子透かしが埋め込まれた画像 $I'(i, j)$ は、画像 $I(i, j)$ の B 成分の LSB を、処理 1 0 4 において、 $\{B(i, j) \quad C(i, j)\}$ に変化させた画像である。ここで、 B 成分の LSB のみを変化させた電子透かし埋め込み画像とする理由は、人間の視覚特性を考慮し、最も原画像の画質劣化が少ない電子透かしの埋め込み処理を実現するためである。

20

【 0 0 3 2 】

次に、こうして埋め込まれた電子透かしを抽出する手法について説明する。検証対象画像を $V(i, j)$ で表す。また、検証者は埋め込み処理で用いた鍵 k を共有しているとする。

【 0 0 3 3 】

この埋め込み処理をより理解し易くするために、その処理の流れを図 7 の模式図に示す。

【 0 0 3 4 】

図 7 において、4 1 0 は自己同期パターン発生器で、 k_i を初期値として自己同期パターン $C(i, j)$ を発生している。4 1 1 は擬似乱数発生器で、値 k を初期値として擬似乱数を発生し、それをルックアップテーブル LUT_{412} のアドレス順に格納している。この LUT_{412} には画像 $I(i, j)$ の LSB を除いた画像 $I7(i, j)$ が入力され、それに対応して 1 ビットのデータ $B(i, j)$ が出力される。この $B(i, j)$ と自己同期パターン $C(i, j)$ との排他的論理和が取られ、それが原画像 $I(i, j)$ の LSB に挿入されて、電子透かしが埋め込まれた画像 $I'(i, j)$ となる。

30

【 0 0 3 5 】

< 抽出処理 (図 2) >

図 2 は、電子透かしが埋め込まれた画像から電子透かしを抽出して改竄位置を検出するための処理を説明する図である。

【 0 0 3 6 】

まず処理 2 0 1 で、鍵 k を初期値として擬似乱数を生成し、埋め込み処理と同様に、入力が 8 ビットで出力が 1 ビットのルックアップテーブル $LUT()$ を作成する。こうして作成されたルックアップテーブルは、図 7 のルックアップテーブル 4 1 2 と同じものとなる。

40

【 0 0 3 7 】

次に処理 2 0 2 で、検証対象画像 $V(i, j)$ の LSB を除いた画像 $V7(i, j)$ を LUT に入力して $U(i, j) = LUT(V7(i, j))$ を求める。ここで、 $U(i, j)$ は、画像 $V7(i, j)$ がルックアップテーブル $LUT()$ に入力されたとき、それに対応して出力される 1 ビットの乱数値を示す。

【 0 0 3 8 】

50

次に処理 203 で、 $U(i, j) = LSBV$ ならば $D(i, j) = 0$ とし、 $U(i, j) \neq LSBV$ ならば $D(i, j) = 1$ とする。ここで $LSBV$ は、画像 $V(i, j)$ の LSB である。

【0039】

次に処理 204 で、処理 203 における出力結果 $D(i, j)$ から自己同期をとり、同期がはずれた位置を改竄位置とする。

【0040】

ここで自己同期パターン $C(i, j)$ とは、周期が長く自己相関性の強いビット系列であり、例えば M 系列と呼ばれるビット系列が知られている。 M 系列は情報長 m 、符号長 $n = 2^m - 1$ となる巡回符号であり、 m 段のシフトレジスタを用いることにより最大長の周期をもつビット列を簡単に生成できる。

10

【0041】

図 4 は、以下の式 (1) を用いた M 系列生成器の構成を示すブロック図である。尚、図 4 において、401 はシフトレジスタ、402 は加算器 (EXOR) を示す。

【0042】

$$H(x) = h_{m-1} \cdot x^{m-1} + h_{m-2} \cdot x^{m-2} + \dots + h_1 \cdot x + h_0 \quad \dots \text{式 (1)}$$

ここで図 1 の処理 101 で行われる自己同期パターン生成処理は以下のように行われる。

【0043】

図 4 の複数のシフトレジスタ 401 のそれぞれの初期値 c_1, \dots, c_m を k_i とし、その出力結果 c_{m+1} を計算する。この出力結果 c_{m+1} を最初のシフトレジスタ 401 にフィードバックさせて、演算を順次繰り返し、 $M \times N$ の長さの自己同期パターン $C(i, j) = [c_1, \dots, c_{M \times N}]$ を生成する。ここで、各シフトレジスタ 401 内の値と、その出力値 c_{m+1} は下記の関係を持つことは明らかである。

20

【0044】

$$c_{i+m} = c_{i+m-1} \cdot x^{m-1} + c_{i+m-2} \cdot x^{m-2} + \dots + c_{i+1} \cdot x + c_i \quad \dots \text{式 (2)}$$

そして、図 2 の処理 204 における自己同期のとりかたは以下のようにして実行される。

【0045】

図 5 は、 M 系列を検査するための M 系列計算器の構成を示すブロック図である。図 5 において、501 はシフトレジスタ、502 は加算器 (EXOR)、503 はスイッチを夫々示している。

30

【0046】

図 5 において、スイッチ 503 を入力側 (端子 a) に接続すると、抽出されたビット系列が入力される。一方、スイッチ 503 をフィードバック側 (端子 b) に接続すると、図 4 に示すような通常の M 系列データの生成器になる。

【0047】

まず最初に、改竄がなされていないビット系列が入力される場合を考える。

【0048】

スイッチ 503 を入力側 (端子 a) に接続して、抽出されたビット列 $D(i, j)$ の最初のビット系列である d_1, \dots, d_m を M 系列生成器に入力すると、上述の式 (2) の関係が成り立つので c_{m+1} が計算される。その計算値 c_{m+1} は、抽出されたビット列 $D(i, j)$ の次のビットである d_{m+1} と一致するので、同期がとれていることがわかる。そしてその後、 $M \times N$ まで繰り返しても全てのビットが一致するので改竄が行われていないことがわかる。

40

【0049】

次に、 d_1, \dots, d_i まで同期がとれていて、 d_{i+1} で同期がはずれた場合、即ち、 $c_{i+1} \neq d_{i+1}$ となった場合には、 d_{i+1} が改竄位置であることが分かる。この後、スイッチ 503 を入力側にしたまま計算を継続すると、 d_{i+1} の影響で、それ以後の m ビットは、計算値 c と抽出値 d とが一致しなくなることは明らかである。

【0050】

50

よって、改竄が検出されるとスイッチ503をフィードバック側(端子b)に接続し、改竄値である抽出値 d_{i+1} の代わりに計算値 c_{i+1} をM系列生成器に入力して計算を続ける。この時、抽出値 d_{i+1} のみが改竄位置である場合には、 d_{i+1} の代わりに正しい c_{i+1} によって計算が継続されるので、 d_{i+2} 以降の値は一致することになる。但し、偶然 c_{i+2} と d_{i+2} とが一致することがあるので、 t 回以上連続して一致した場合のみ再び同期がとれた、即ち、 d_{i+2} 以降は改竄されていないと判定する。

【0051】

また、 d_{i+1} の後に集中して改竄されている場合も同様に、 t 回以上連続して一致した場合、 t まで遡って同期がとれた、即ち改竄はないと判定する。ここで t を大きくとれば t 回連続して偶然に一致する確率は 2^{-t} となるので、偶然に一致する確率を非常に小さく

10

【0052】

また、初期状態において最初の d_1, \dots, d_m の中で1ビットでも改竄されている場合は上記の式(2)は成立しないので、最初から計算されたビットと抽出されたビット d_{m+1} とは一致せず、同期がはずれる。この場合は、正しい計算値 c_{m+1} が得られないので、式(2)が成立するまで、スイッチ503を入力側(端子a)に接続して同期が取れるまで計算を継続する。こうして t 回連続で同期がとれた状態が続けば、同期がとれたものとして、後は上記の途中から同期が外れた場合と同様の処理を行う。

【0053】

また、自己同期パターンはM系列のような線形演算に限らず、シフトレジスタの値を非線形関数によって演算したり、複数のM系列パターンを非線形関数を用いて演算したりしてもよい。

20

【0054】

これによって、画像がずらされていたり、部分的な削除・挿入が行われていてもその部分で同期がはずれることにより検出でき、改ざん位置とすることができる。

【0055】

次に、本発明の課題で述べたような、同じ鍵を用いて埋め込み処理をした画像を切り貼りする攻撃の場合を考える。ここでは簡単のために他の改竄はないとする。

【0056】

まず最初の画像の自己同期パターンから同期が取れはじめる。本実施の形態では、図1の埋め込み処理101において、画像毎に異なる初期値 k_i を用いて異なる自己同期パターンを埋め込んでいる。よって、異なる画像を切り貼りした部分で同期がはずれることになる。ここで全て異なる画像を組み合わせている場合、スイッチ503をフィードバック側(端子b)にしてパターン的一致を検査しても同期が戻ることはなく、最初の画像以外の部分は改竄箇所として検出される。これは、スタンプ画像として予め定められたものを用いず、抽出したパターンから検出される自己同期性を用いているため、自己同期性の違い、即ち画像の違いが検出できるためである。

30

【0057】

ここで、切り貼りをはじめとする攻撃をより厳密に検証するために、スイッチ503をフィードバック側に接続して計算する状態(状態1)と、スイッチ503を入力側に接続して計算する状態(状態2)とを並行して行うことが考えられる。例えば、同期がはずれて、それ以降、スイッチ503を入力側に接続して計算を継続すると、切り貼り部分から m ビットを過ぎると再び同期が戻ってくる。これは、埋め込まれているパターンが別の自己同期パターンであるので前画像の影響がなくなった時から次の画像のパターンで自己同期が取れ始めるためである。よって、「状態1」と「状態2」の計算を並行して行うことによって、異なる画像が組み合わさされていることが識別可能になる。この手法は画像をずらしたり、画像のラインを挿入したり、削除した場合などにも有効であることは明らかである。

40

【0058】

以上、図2の処理204において行われる改竄位置の判定は、図6に示すような状態遷

50

移図で表される。但し、攻撃をより詳細に検証する場合は、改竄状態 6 0 2 と準同期状態 6 0 4 では「状態 1」と「状態 2」が並行して存在する。

【 0 0 5 9 】

まず初期状態 6 0 1 は処理開始状態となり、スイッチ 5 0 3 を入力側に接続し、最初の抽出パターン $d_1 \sim d_m$ を各シフトレジスタ 5 0 1 の初期値としてセットし、 c_{m+1} を計算して、その計算結果を抽出された d_{m+1} と比較する。ここで $c_{m+1} = d_{m+1}$ ならば同期状態 6 0 3 へ遷移し (6 1 0)、 $c_{m+1} \neq d_{m+1}$ ならば改竄状態 6 0 2 へ遷移する (6 1 1)。

【 0 0 6 0 】

改竄状態 6 0 2 は、前状態の位置が改竄されている状態であり、この場合にはスイッチ 5 0 3 をフィードバック側 (端子 b) に接続して計算 (状態 1) を継続し、計算された値 c_{m+1} と抽出値 d_{m+1} とを比較する。これらの値が一致すれば準同期状態 6 0 4 へ遷移する。これと同時に、スイッチ 5 0 3 を入力側に接続した計算 (状態 2) も継続し、その計算された値 c_{m+1} と抽出値 d_{m+1} とを比較する。ここで、これらの値が一致すれば準同期状態 6 0 4 へ移行する (6 1 2)。

【 0 0 6 1 】

準同期状態 6 0 4 は、「状態 1」と「状態 2」の結果が一致しない状態を示し、ここでは「状態 1」と「状態 2」の計算を継続し、「状態 1」の結果が t_1 回連続で一致する場合、または「状態 2」の結果が t_2 回連続して一致する場合には、改竄なしとして同期状態 6 0 3 へ遷移し (6 1 3)、一致しない場合には改竄状態 6 0 2 へ遷移する (6 1 4)

。

【 0 0 6 2 】

同期状態 6 0 3 では、スイッチ 5 0 3 を入力側 (端子 a) に接続し、抽出値 $d_i \sim d_{i+m-1}$ から計算値 c_{i+m} を計算して、 $c_{i+m} = d_{i+m}$ となっている。ここで、これらが一致しなければ改竄状態 6 0 2 へ遷移する (6 1 5)。

【 0 0 6 3 】

以上説明した画像の埋め込み処理、及び抽出処理は、図 3 に示す画像処理装置を用いることによって実現できる。

【 0 0 6 4 】

図 3 は、本発明の実施の形態に係る画像処理装置の構成を示すブロック図である。

【 0 0 6 5 】

図 3 において、ホストコンピュータ 3 0 1 は、例えば一般に普及しているパーソナルコンピュータであり、例えば、スキャナ 3 1 4 から読み取られた画像データを入力し、その画像データを編集、保管することが可能である。更に、ここで得られた画像データを、プリンタ 3 1 5 により印刷させることが可能である。また、ユーザからの各種マニュアル指示等は、マウス 3 1 2、キーボード 3 1 3 からの入力により行われる。このホストコンピュータ 3 0 1 の内部では、バス 3 1 6 により後述する各ブロックが接続され、種々のデータの受け渡しが可能である。

【 0 0 6 6 】

図中、3 0 2 は CRT、液晶、或いはプラズマ等の表示器 (モニタ) である。3 0 3 は CPU で、内部の各ブロックの動作を制御、或いは内部に記憶されたプログラムを実行する。3 0 4 は ROM で、印刷されることが認められていない特定画像を記憶したり、予め必要な画像処理プログラムや各種データ等を記憶している。3 0 5 は RAM で、CPU 3 0 3 にて処理を行うために一時的にプログラムや処理対象のデータを格納する。3 0 6 はハードディスク (HD) で、RAM 3 0 5 等に転送されるプログラムや画像データを予め格納したり、処理後の画像データを保存する。3 0 7 はインターフェース部で、原稿或いはフィルム等を CCD にて読み取って画像データを生成するスキャナ 3 1 4 に接続され、そのスキャナ 3 1 4 で得られた画像データを入力している。3 0 8 は CD ドライブで、外部記憶媒体の一つである CD (CD - R) に記憶されたデータを読み込み或いは書き出すことができる。3 0 9 は FD ドライブで、CD ドライブ 3 0 8 と同様に、フロッピーディスク (FD) からのデータの読み込み、FD へのデータ書き出しを行う。3 1 0 は DVD

10

20

30

40

50

ドライブで、CDドライブ308と同様に、DVDからのデータ読み込み、DVDへのデータ書き出しができる。尚、これらCD、FD、DVD等に画像編集用のプログラム、或いはプリンタドライバが記憶されている場合には、これらプログラムは、一旦HD306上にインストールされ、必要に応じてRAM305に転送されて保持され、このプログラムなどに基づいてCPU303が実行可能となっている。311は、マウス312或いはキーボード313からの入力指示を受け付けるためにこれらと接続されるインターフェース部(I/F)である。318はモデムで、インターフェース部319(I/F)を介して外部のネットワークと接続されている。

【0067】

以上の構成において、処理対象の画像データは、CD-ROM、DVD等の記憶媒体、又はスキャナ314、或いはインターフェース部319を介してネットワークから入力されて、一旦RAM305に保持される。そしてキーボード313或いはマウス312などから入力される指示に従って、上述或いは後述する処理を実行するプログラムをHD306から読み出してRAM305に記憶させ、そのプログラムを実行させることにより、本実施の形態1~4に係る処理がCPU303の制御の下に実行される。こうして電子透かし或いは画像が埋め込まれた画像は、ネットワークに伝送されたり、或いはCDやDVDなどの記憶媒体に記憶される。また、ネットワーク或いは上述の記憶媒体から入力した画像データに対して、埋め込み画像の抽出処理を実行することにより、その画像データが不正に改竄されているかどうかを検出することができる。こうして得られた結果は、モニタ302に表示されてオペレータに警告しても良く、或いはプリンタ315により印刷されても良い。

【0068】

以上説明したように本実施の形態1によれば、スタンプ画像を保存しておく必要がなく、かつ同じ鍵を用いて異なる画像に埋め込み処理を行っても安全な手法が実現できる。この手法は、鍵を初期値とする疑似乱数発生手法から生成される変換テーブルが安全であるならば、鍵を除く全てのアルゴリズムを公開しても安全な手法とすることができる。

【0069】

[実施の形態2]

前述の実施の形態1では、原画像 $I(i, j)$ の各画素のLSBを除く画素値 $I7(i, j)$ が同じ場合、生成される $B(i, j)$ は同じになるので、解析がしやすい場合が考えられる。そこで、画素位置に応じて乱数で変換することによって解析を困難にする手法を以下に示す。

【0070】

図8は本発明の実施の形態2に係る電子透かしの埋め込み処理を説明する模式図である。

【0071】

<埋め込み処理(図8)>

まず処理701で、画像毎に定める値 k_i を初期値として自己同期パターン $C(i, j)$ を生成する。

【0072】

次に処理702で、鍵 k を初期値として疑似乱数を生成し、入力が8ビットで1ビット出力のルックアップテーブル $LUT()$ を作成する。これは各テーブルのアドレス順に、生成した疑似乱数(1ビット)を割り当てていくことによって実現される。さらに、上記疑似乱数を生成し続け、 $M \times N$ の2値の疑似乱数画像 $R(i, j)$ を生成する。

【0073】

次に処理703に進み、原画像 $I(i, j)$ のLSBを除いた画像 $I7(i, j)$ から $B(i, j) = LUT(I7(i, j)) \oplus R(i, j)$ を計算する。ここで、 $LUT(I7(i, j))$ は、画像 $I7(i, j)$ がルックアップテーブル $LUT()$ に入力されたとき、それに対応して出力される1ビットの乱数値を示す。

【0074】

10

20

30

40

50

次に処理 704 に進み、原画像 $I(i, j)$ の LSB に $\{B(i, j) \quad C(i, j)\}$ を埋め込むことにより、電子透かし画像 $I'(i, j)$ を生成する。

【0075】

ここで前述の実施の形態 1 と異なる点は、 $B(i, j)$ を、単に画像 $I7(i, j)$ に対応する 1 ビットデータ ($LUT(I7(i, j))$) とするのではなく、その 1 ビットデータと、 $M \times N$ の 2 値の疑似乱数画像 $R(i, j)$ 、即ち、画素位置に応じた乱数値との排他的論理和としている点にある。

【0076】

この実施の形態 2 に係る埋め込み処理の概要を図 10 に示す。尚、図 10 において、図 7 と共通する部分は同じ記号で示し、それらの説明を省略する。

10

【0077】

図 10 において、原画像 $I(i, j)$ の LSB には、ルックアップテーブル 412 の出力 ($LUT(I7(i, j))$) と、鍵 k を初期値として生成された画像 $I(i, j)$ の画素数分の疑似乱数 $R(i, j)$ との排他的論理和が、原画像の LSB に挿入される点が特徴である。

【0078】

<抽出処理(図9)>

図 9 は本発明の実施の形態 2 に係る電子透かしの抽出及び改竄位置の検出処理を説明する模式図である。

【0079】

20

まず処理 801 で、鍵 k を初期値として疑似乱数を生成し、図 8 の埋め込み処理と同様に、入力が 8 ビットで 1 ビット出力のルックアップテーブル $LUT()$ を作成する。さらに、上記疑似乱数を生成し続け、 $M \times N$ の 2 値疑似乱数画像 $R(i, j)$ を生成する。

【0080】

次に処理 802 で、検証対象画像 $V(i, j)$ の LSB を除いた画像 $V7(i, j)$ から $U(i, j) = LUT(V7(i, j)) \oplus R(i, j)$ を計算する。ここで、 $LUT(V7(i, j))$ は、画像 $V7(i, j)$ を入力したときのルックアップテーブルの出力 (1 ビット) を示す。

【0081】

次に処理 803 で、 $U(i, j) = LSBV$ ならば $D(i, j) = 0$ 、 $U(i, j) \neq LSBV$ ならば $D(i, j) = 1$ とする。なお、ここで、 $LSBV$ は、検証対象画像 $V(i, j)$ の B 成分の LSB を示している。

30

【0082】

次に処理 804 で、 $D(i, j)$ から自己同期をとり、同期がはずれた位置を改竄位置とする。

【0083】

本実施の形態 2 では、画素値のみに依存し、画素位置に依存しないルックアップテーブルの出力値 ($LUT(I7(i, j))$ 又は $LUT(V7(i, j))$) に対して、図 8 の処理 702 或いは図 9 の処理 802 で生成した疑似乱数 $R(i, j)$ との排他的論理和を求める (処理 703, 803) ことにより、同じ画素値であっても異なる $B(i, j)$, $U(i, j)$ を出力できるようにして解析を困難にしている。但し、疑似乱数 $R(i, j)$ は、自己同期パターン $C(i, j)$ や抽出パターン $D(i, j)$ 又は画像 $I(i, j)$ や $V(i, j)$ と排他的論理和を求めてもよく、いずれの場合も効果は同じである。

40

【0084】

[実施の形態 3]

従来のスタンプ画像を保存する改竄位置の検出手法では、画像の拡大縮小や回転、切取りなどが起こった場合、保存されているスタンプ画像の形状を参考に改竄画像の拡大縮小や回転、切取りを補正することができる。

【0085】

これに対し本実施の形態では、スタンプ画像を保存しないので、スタンプ画像の形状を参考にできない。よって、下記のような手段によって拡大縮小や回転、切取りに対する対

50

応を行う。

【0086】

1) 電子透かしが埋め込まれた画像 $I'(i, j)$ に拡大縮小、回転などの全体的な改竄が行われている場合

改竄の定義によるが、拡大縮小、回転も改竄と見なす場合は、画像サイズや形状の変化を気にせず抽出処理を行えば、同じ画素位置における検証対象画像 $V(i, j)$ と埋め込み画像 $I'(i, j)$ はほとんど異なっており、さらに疑似乱数との対応も異なるために、画像全体の改竄として検出される。よって、この場合何の手段も必要としない。

【0087】

しかし、拡大縮小、回転は改竄と見なさない場合は、予め後述のようなレジストレーション信号を埋め込んでおき、拡大縮小や回転などを補正した後に、改竄位置検出処理を行えば、拡大縮小、回転などの復元可能な変更は改竄と見なさないことも可能である。よってこの場合、図11に示すようにレジストレーション信号による画像補正を画像補正部1201で行った後に、前述の実施の形態1及び2に示した機能を有する改竄位置検出部1102による検証及び改竄位置の検出処理を実行する。

10

【0088】

2) 埋め込まれた画像 $I'(i, j)$ に切り取りを行う場合

図1の処理101において生成される自己同期パターン $C(i, j)$ を、例えば最初 $i = 0, j = 0$ から $i = i + 1$ として $i = M$ まで対応させ、次に $j = j + 1, i = 0$ の位置から同様の対応を $i = M, j = N$ まで行う。即ち、画像の上列から順に自己同期パターン $C(i, j)$ を対応させていく場合、埋め込み画像 $I'(i, j)$ の下部のみの切り取りは、全ての位置で $U(i, j) = LSBV$ となり、改竄は検出されない。よって、自己同期パターン $C(i, j)$ の画像位置への対応を画像 $I(i, j)$ の切り取りが行いにくくなるように縦横1ラインずつ行うなどしておく、又は、予めランダムに定めておく必要がある。または、画像サイズに応じて自己同期パターンを変えるなどすることも可能である。

20

【0089】

また前述の実施の形態では、多値画像の場合でのみ説明したが、カラー画像であっても、それをRGBに分解することによって本発明を実施することができる。この場合、RGB毎に別々に行っても、RGBの結果を合成して行っても良い。

【0090】

また、本実施の形態では、自己同期パターンを例にして説明したが、本発明はパターンの違いが容易に識別可能であればよく、これに限定されるものではない。例えば、自己同期パターンでなく、通常の画像を色成分毎に強さを変えて挿入し、色識別によって改竄位置を検出することも可能である。

30

【0091】

また、自己相関演算は周波数変換して演算することもできるので、自己同期検出は図5に示すような構成に限定されない。

【0092】

また、同期確立のための t は、初期状態601からの同期状態603に遷移する場合と、改竄状態602からの同期状態603に遷移する場合で変えることも可能である。一般に、初期状態601からの同期確立のための t の方が、改竄状態602から同期確立のための t よりも大きく設定すべきである。また、改竄状態602からの同期確立のための t の値を"1"とする場合には、準同期状態604は経由しないので、 t の値に応じて図6の状態遷移図は可変となる。よって、本実施の形態における状態の遷移は図6に限定されるものではない。

40

【0093】

また自己同期パターンは、簡単のためにM系列を例にして説明したが、疑似乱数は一般に自己同期性を持つために疑似乱数生成器を用いることができる。例えば、図4に示すM系列生成器は m ビットを入力し、1ビットを出力する変換テーブルに置換えられる。よって、ある初期値 k_1 から疑似乱数を生成し、新たな m ビット入力で1ビット出力のルック

50

アップテーブルの出力に対応させることもできる。

【0094】

また、鍵 k_0 を初期値として疑似乱数を生成し、画像 $I(i, j)$ の B 成分の LSB を除く各ビットとの排他的論理和をとることによって、画像 $I(i, j)$ を画素位置に応じて暗号化して、画像 $I(i, j)$ の代わり LSB への埋め込みパターンを生成しても良い。このとき、抽出処理では同じ鍵 k_0 から生成される疑似乱数を用いて画像 $V(i, j)$ を暗号化して同様の処理を行う。

【0095】

[レジストレーション信号]

電子透かしには種々の攻撃が施される可能性がある。このような攻撃としては例えば、JPEG などの非可逆圧縮、拡大・縮小或いは回転などの幾何変換などが挙げられる。レジストレーション信号とは、それらの種々の攻撃によって生じた幾何的歪みを補正するために埋め込まれる信号である。レジストレーション処理は、電子透かしを埋め込む際に、付加情報とは別に、特定の信号（レジストレーション信号）を画像に付加し、電子透かしを抽出する際には、付加情報を抽出する前に、前記レジストレーション信号を用いて付加情報の抽出を助長する処理である。

10

【0096】

このレジストレーションを用いた方式としては、米国特許第 5636292 に提案されている方式が挙げられる。これは、予め埋め込んである幾何パターンを用いて、画像に施された幾何変換を自動的に算出する方式である。また、特開平 11-355547 号公報に提案されている対称軸を持たない 2 次元波から構成される方式などもある。

20

【0112】

[実施の形態 4]

図 13 は、本発明の実施の形態 4 に係る画像埋め込み処理を説明するための概念図である。尚、この実施の形態 4 及びこれ以降の実施の形態においても、画像処理装置及び M 系列生成器及び M 系列計算器の構成は、前述の図 3 乃至図 5 を参照して説明したものと同一であるため、それらの説明を省略する。

【0113】

ここでは原画像 $I(i, j)$ を $M \times N$ 画素からなる多値画像（ここでは、1 画素が 8 ビットの多値画像として説明する）とする。

30

【0114】

<埋め込み処理（図 13）>

まず処理 1601 で、画像毎に定める値 k_i を初期値として自己同期パターン $C(i, j)$ を生成する。次に処理 1602 で、その生成した自己同期パターン $C(i, j)$ を画像 $I(i, j)$ の LSB に埋め込み、電子透かしが埋め込まれた画像 $I'(i, j)$ を生成する。

【0115】

この電子透かしの埋め込み処理によって得られる電子透かしが埋め込まれた画像 $I'(i, j)$ は、画像 $I(i, j)$ の LSB を、処理 1602 において、自己同期パターン $C(i, j)$ に変化させた画像である。ここで、画像 $I(i, j)$ がカラー画像である場合、B 成分の LSB を変化させる。これは、人間の視覚特性を考慮して、最も原画像の画質劣化が少ない電子透かしの埋め込み処理を実現するためである。

40

【0116】

次に、こうして埋め込まれた電子透かしを抽出する手法について説明する。尚、ここでは検証対象画像を $V(i, j)$ で表す。

【0117】

<抽出処理（図 14）>

図 14 は、電子透かしが埋め込まれた画像 $V(i, j)$ から電子透かしを抽出して改竄位置を検出するための処理を説明する図である。

【0118】

まず処理 1701 で、検証対象画像 $V(i, j)$ の LSB を抽出し、それを $D(i, j)$ とす

50

る。次に処理 1702 で、処理 1701 における出力結果 $D(i, j)$ から自己同期をとり、その同期がはずれた位置を改竄位置とする。

【0119】

ここで自己同期パターン $C(i, j)$ は、周期が長く自己相関性の強いビット系列であり、例えば M 系列と呼ばれるビット系列が知られている。M 系列は情報長 m 、符号長 $n = 2^m - 1$ となる巡回符号であり、 m 段のシフトレジスタを用いることにより最大長の周期をもつビット列を簡単に生成できる。

【0120】

このような M 系列生成器及び M 系列計算機の構成は、前述の図 4 及び図 5 を参照して説明しているので、ここではその説明を省略する。

10

【0121】

このようにして、画像がずらされていたり、部分的な削除・挿入が行われていてもその部分で同期がはずれることにより検出でき、改ざん位置とすることができる。以上説明した画像の埋め込み処理及び抽出処理は、前述の図 3 に示す画像処理装置を用いることによって実現できる。

【0122】

以上説明したように本実施の形態 4 によれば、スタンプ画像を保存しておく必要がなく、かつ数パターン分のずれ、挿入、削除があっても、自己同期を検出することにより改ざん位置を検出できるという効果がある。

【0123】

[実施の形態 5]

前述の実施の形態 4 では、原画像 $I(i, j)$ の LSB に直接自己同期パターンを埋め込んだが、そのままでは、解析がしやすい場合が考えられる。そこで、他のパターンと組み合わせたり、自己同期パターンをさらに変換するなどが考えられる。そこで本実施の形態 5 では、自己同期パターンに別の鍵を初期値とする擬似乱数を用いて解析しにくくした例で説明する。

20

【0124】

図 15 は、本発明の実施の形態 5 に係る電子透かしの埋め込み処理を説明する模式図である。

【0125】

< 埋め込み処理 (図 15) >

まず処理 1801 で、画像毎に定める値 k_i を初期値として自己同期パターン $C(i, j)$ を生成する。次に処理 1802 で、鍵 k を初期値として自己同期パターンと同じ長さの擬似乱数 $B(i, j)$ を生成する。次に処理 1803 に進み、 $B(i, j) \oplus C(i, j)$ を計算する。ただし、ここで \oplus は、EXOR (排他的論理和) の演算を表す。次に処理 1804 に進み、原画像 $I(i, j)$ の LSB に、 $\{ B(i, j) \oplus C(i, j) \}$ を埋め込むことにより、電子透かし画像 $I'(i, j)$ を生成する。

30

【0126】

ここで前述の実施の形態 4 と異なる点は、自己同期パターン $C(i, j)$ を擬似乱数 $B(i, j)$ によってストリーム暗号化している点である。これによって、鍵 k を知らない第三者は自己同期パターンの解析が困難になる。

40

【0127】

更に、鍵 k を用いて生成した乱数によって埋め込み位置を LSB 以外とすることも可能である。例えば、生成した擬似乱数を 2 ビット毎に区切り、それを埋め込み位置とすることが考えられる。即ち、“00”を LSB，“01”を LSB の 1 つ上位のビットに埋め込み、更に“10”，“11”をそれぞれ 1 つずつ上位のビットに埋め込むことなどが考えられる。

【0128】

< 抽出処理 (図 16) >

図 16 は、本発明の実施の形態 5 に係る電子透かしの抽出及び改竄位置の検出処理を説

50

明する模式図である。

【0129】

まず処理1901で、鍵 k を初期値として擬似乱数を生成し、 $B(i, j)$ を生成する。次に処理1902で、検証対象画像 $V(i, j)$ のLSBを抽出し、 $U(i, j)$ とする。次に処理1903で、 $D(i, j) = U(i, j) \oplus B(i, j)$ を計算する。次に処理1904で、 $D(i, j)$ から自己同期をとり、同期がはずれた位置を改竄位置とする。

【0130】

従来のスタンプ画像を保存する改竄位置の検出手法では、画像の拡大縮小や回転、切り取りなどが起こった場合、保存されているスタンプ画像の形状を参考に改竄画像の拡大縮小や回転、切り取りを補正することができる。これに対し本実施の形態では、スタンプ画像を保存しないので、スタンプ画像の形状を参考にできない。よって、前述の図11を参照して説明したような手段によって拡大縮小や回転、切り取りに対する対応を行う。

10

【0131】

また、本実施の形態では、自己同期パターンを例にして説明したが、本発明はパターンの違いが容易に識別可能であればよく、これに限定されるものではない。例えば、自己同期パターンでなく、通常の画像を色成分毎に強さを変えて挿入し、色識別によって改竄位置を検出することも可能である。

【0132】

また、自己相関演算は周波数変換して演算することもできるので、自己同期検出は図5に示すような構成に限定されない。

20

【0133】

前述の実施の形態では、画像を例に取り、改竄位置の検出手法を説明したが、本発明において対象するデータは画像に限定されるものではなく、例えばデジタルデータをブロック化し、それに対応する改竄位置を検出する検査情報を付加する場合等すべて含まれる。その一例として、前述の図12に示すように、複数のデータブロックによって1つのコンテンツが表されるも同様に実施できる。よって、上記の実施の形態で説明した画素をデータブロックとすれば、任意のコンテンツのデータブロックごとの改ざん位置検出ができることは明らかである。すなわち、複数画素をデータブロックとしてもよいし、音楽情報のように時系列の情報に対しても改ざん位置検出が行える。さらには、コンテンツをデータブロックに分解してパケット通信する場合などに対してもパケット中の改ざん位置が検出可能であることは明らかである。

30

【0134】

また、JPEGやMPEGなどは外見上一つのデータストリームとして構成されているが、実質は 8×8 の画素ブロックごと、又はフレーム毎のデータブロックに分解でき、それらのブロックが連続して1つのコンテンツを構成している。図12では簡単のため、データブロックを分解して示したが、外見上一つのデータストリームであっても、或いは実質的に複数のデータブロックから構成されるコンテンツに対しても本発明が適用可能であることも明らかである。

【0135】

本発明は上記実施の形態を実現するための装置及び方法及び実施の形態で説明した方法を組み合わせる方法のみに限定されるものではなく、上記システム又は装置内のコンピュータ(CPUあるいはMPU)に、上記実施の形態を実現するためのソフトウェアのプログラムコードを供給し、このプログラムコードに従って上記システムあるいは装置のコンピュータが上記各種デバイスを動作させることにより上記実施の形態を実現する場合も本発明の範疇に含まれる。

40

【0136】

またこの場合、前記ソフトウェアのプログラムコード自体が上記実施の形態の機能を実現することになり、そのプログラムコード自体、及びそのプログラムコードをコンピュータに供給するための手段、具体的には上記プログラムコードを格納した記憶媒体は本発明の範疇に含まれる。

50

【0137】

このようなプログラムコードを格納する記憶媒体としては、例えばフロッピーディスク、ハードディスク、光ディスク、光磁気ディスク、CD-ROM、磁気テープ、不揮発性のメモリカード、ROM等を用いることができる。

【0138】

また、上記コンピュータが、供給されたプログラムコードのみに従って各種デバイスを制御することにより、上記実施の形態の機能が実現される場合だけではなく、上記プログラムコードがコンピュータ上で稼働しているOS（オペレーティングシステム）、あるいは他のアプリケーションソフト等と共同して上記実施の形態が実現される場合にも、係るプログラムコードは本発明の範疇に含まれる。

10

【0139】

更に、この供給されたプログラムコードが、コンピュータの機能拡張ボードやコンピュータに接続された機能拡張ユニットに備わるメモリに格納された後、そのプログラムコードの指示に基づいてその機能拡張ボードや機能格納ユニットに備わるCPU等が実際の処理の一部または全部を行い、その処理によって上記実施の形態が実現される場合も本発明の範疇に含まれる。

【0140】

以上説明したように本実施の形態によれば、従来はできなかったような、同じ鍵を用いて異なる画像の埋め込み処理をしても安全な電子透かしによる改竄位置の検出手法が実現できる。

20

【0141】

更に、本実施の形態によれば、スタンプ画像は保存する必要がなく、鍵のみの秘匿でよいため効率的である。

【0142】

また本実施の形態によれば、従来はできなかったような、デジタルコンテンツのずれや挿入・削除といった改ざん部分のみを検出することができる。

【0143】

【発明の効果】

以上説明したように本発明によれば、電子透かし手法のアルゴリズムや埋め込みパターンが知られたとしても、確実に改竄位置を検出できる。

30

【0144】

また本発明によれば、スタンプ画像を保存する必要がなく、かつ同じ鍵を用いて異なる画像データに埋め込み処理を行っても、その画像データにおける改竄位置を確実に検出できるという効果がある。

【0145】

また本発明によれば、従来はできなかったような、デジタル画像のずれや挿入或は削除といった改ざん部分のみを検出することができる。

【図面の簡単な説明】

【図1】 本発明の実施の形態1に係る画像の埋め込み処理の概要を説明する概念図である。

40

【図2】 実施の形態1における埋め込み画像の抽出及び改竄位置の特定処理を説明する概念図である。

【図3】 本発明の実施の形態に係る画像処理装置の構成を示すブロック図である。

【図4】 本発明の実施の形態1に係る自己同期パターン生成器の構成を示すブロック図である。

【図5】 本発明の実施の形態1に係る自己同期パターン計算器の構成を示すブロック図である。

【図6】 本発明の実施の形態1に係る自己同期をとるための状態遷移を説明する図である。

【図7】 本発明の実施の形態1に係る画像の埋め込み処理を説明する概念図である。

50

【図8】 本発明の実施の形態2に係る画像の埋め込み処理の概要を説明する概念図である。

【図9】 実施の形態2における埋め込み画像の抽出及び改竄位置の特定処理を説明する概念図である。

【図10】 本発明の実施の形態2に係る画像の埋め込み処理を説明する概念図である。

【図11】 本発明の実施の形態3に係る抽出処理の概要を説明する図である。

【図12】 本発明の実施の形態3に係るデータブロックへの検査ビットの埋め込みを説明する図である。

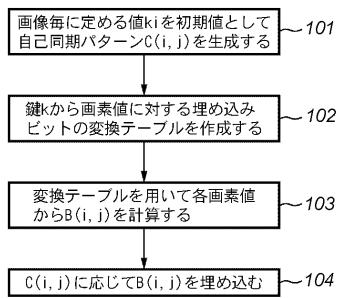
【図13】 本発明の実施の形態4に係る画像の埋め込み処理の概要を説明する概念図である。

【図14】 実施の形態4における埋め込み画像の抽出及び改竄位置の特定処理を説明する概念図である。

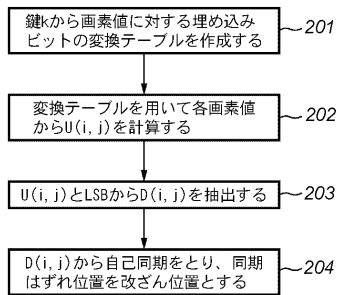
【図15】 本発明の実施の形態5に係る画像の埋め込み処理の概要を説明する概念図である。

【図16】 実施の形態5における埋め込み画像の抽出及び改竄位置の特定処理を説明する概念図である。

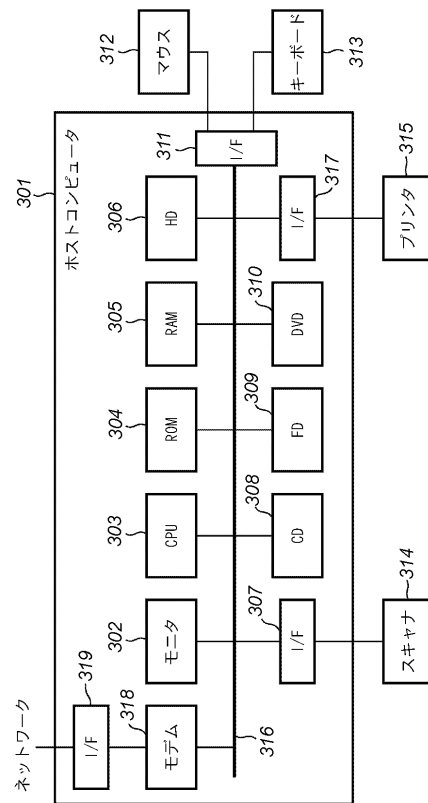
【図1】



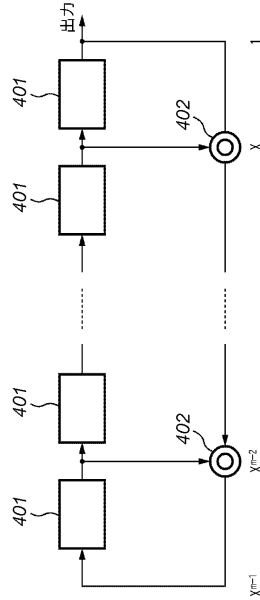
【図2】



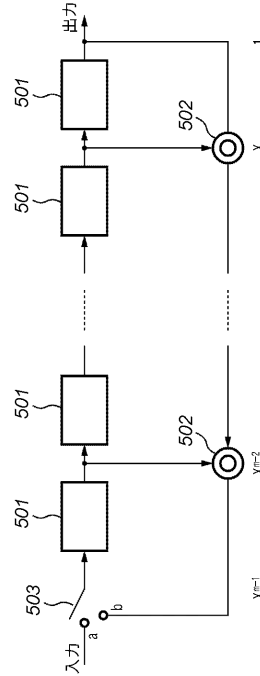
【図3】



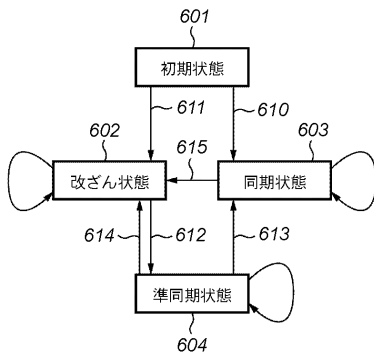
【 図 4 】



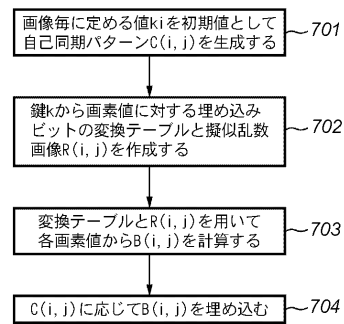
【 図 5 】



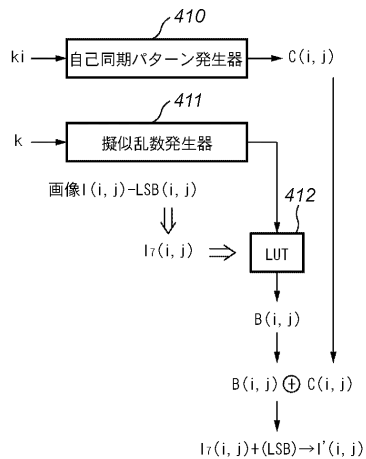
【 図 6 】



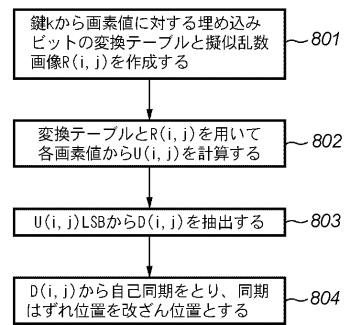
【 図 8 】



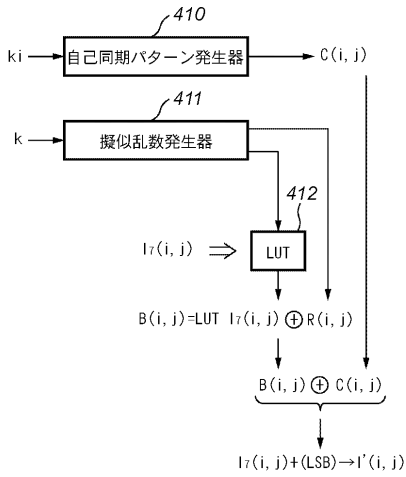
【 図 7 】



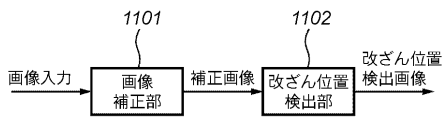
【 図 9 】



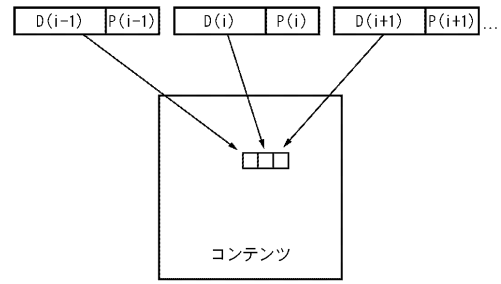
【図10】



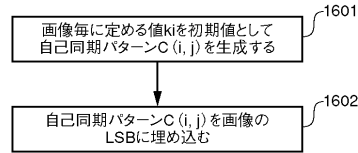
【図11】



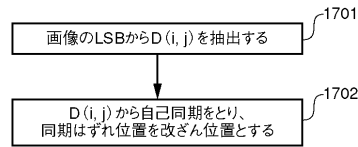
【図12】



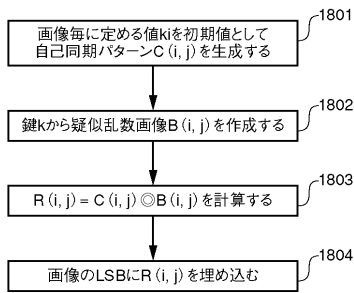
【図13】



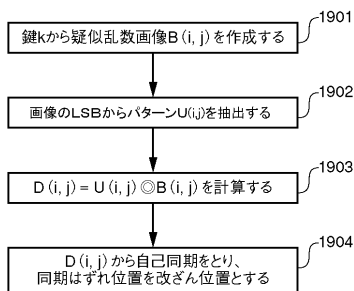
【図14】



【図15】



【図16】



フロントページの続き

審査官 手島 聖治

(56)参考文献 特開平11-075055(JP,A)

(58)調査した分野(Int.Cl., DB名)

H04N1/38-1/409

G06T1/00-1/40

G06T3/00-5/50

G06T9/00-9/40

G09C1/00-5/00

H04K1/00-3/00

H04L9/00-9/38